

УДК 532.5.032

## МЕДЛЕННОЕ ОБТЕКАНИЕ ПОЛОГО ПОРИСТОГО ШАРА ВЯЗКОЙ НЕСЖИМАЕМОЙ ЖИДКОСТЬЮ

А. С. Верещагин<sup>\*,\*\*</sup>, С. В. Долгушев<sup>\*</sup>

<sup>\*</sup> Институт теоретической и прикладной механики им. С. А. Христиановича СО РАН,  
630090 Новосибирск

<sup>\*\*</sup> Новосибирский государственный университет, 630090 Новосибирск  
E-mails: vereshchag@itam.nsc.ru, dolg@itam.nsc.ru

Решена задача обтекания полой пористой сферы потоком вязкой несжимаемой жидкости в приближении Стокса, в котором фильтрационное течение через оболочку шара подчиняется закону Дарси. Рассчитана сила, действующая на шар со стороны жидкости, рассмотрены предельные случаи. Построена функция тока.

Ключевые слова: обтекание, вязкая жидкость, аналитическое решение, фильтрация, полая частица.

**Введение.** Задачи о движении жидкости вблизи твердых проницаемых сфер или сферических оболочек возникают в различных областях науки и медицины, в промышленности, метеорологии и т. д. Примерами таких задач являются обтекание пористых частиц катализатора в реакторах с плотным слоем этих частиц или псевдооживлением, течение анализируемой по составу жидкой или газообразной смеси в колонке хроматографа, выпадение осадков в виде снега, оседание частиц ила на дно водоема, а также сгустков крови при проведении медицинских анализов и т. д. Поскольку в указанных случаях движение жидкости происходит с очень малой скоростью ( $Re \ll 1$ ), при описании течения вне твердой пористой среды обычно используются уравнения Стокса, а внутри пористой среды — уравнения фильтрации различных моделей (в основном модели Дарси).

Теоретические исследования течений вблизи пористых проницаемых тел вращения начаты более 50 лет назад [1–3] и продолжаются в настоящее время при уточнении моделей течения и условий на границах раздела фаз, а также при совершенствовании методов решения задач для различных условий внешнего потока. В работе [4] теоретические исследования, выполненные в этом направлении в течение последних 30 лет, разделены на три группы:

1) применение закона Дарси для описания течения в пористой среде и уравнений вязкой жидкости (уравнений Навье — Стокса в различных приближениях) в свободном потоке при условиях неразрывности нормальной составляющей скорости и давления на внешней поверхности пористой сферы (или оболочки) и отсутствия скольжения (тангенциальная составляющая скорости равна нулю) [5–9];

---

Работа выполнена в рамках Интеграционного проекта СО РАН № 12 и комплексного проекта СО РАН — NSC № 143, а также при финансовой поддержке Совета по грантам Президента РФ для государственной поддержки молодых российских ученых (грант № МК-4276.2010.1).

2) применение тех же модельных уравнений для описания внешнего и внутреннего течений с несколько измененными граничными условиями: вместо условия отсутствия скольжения вдоль границ раздела фаз допускается наличие ненулевой касательной составляющей скорости, которая определяется в ходе решения задачи [10–14];

3) применение закона Бринкмана для описания течения в пористой среде и уравнений вязкой жидкости (уравнений Навье — Стокса в различных приближениях) в свободном потоке при выполнении условий неразрывности всех составляющих скорости, давления и напряжений на внешней поверхности пористой сферы (или оболочки) [4, 15–17].

В перечисленных выше работах задача о низкоскоростном обтекании пористых сфер и оболочек решалась аналитически. Имеются примеры численного решения этой задачи с использованием полных уравнений Навье — Стокса и Бринкмана с граничными условиями, указанными в п. 3. Результаты таких расчетов, проведенных в работе [18], хорошо согласуются (с точностью до 10 %) с экспериментальными значениями для коэффициента сопротивления пористых сфер в [19].

Модель течения жидкости в пористой среде Бринкмана [20] является обобщением модели Дарси на случаи умеренных и больших значений коэффициента проницаемости пористой среды: при малых значениях этой величины она переходит в модель Дарси, при больших (отсутствие твердой фазы) — в уравнения движения вязкой несжимаемой жидкости в приближении Стокса.

Рассмотрим более подробно некоторые наиболее существенные результаты, полученные в указанных выше работах. В [5, 9] на основе подхода 1 представлены формулы для компонент скорости, давления и коэффициента сопротивления при обтекании проницаемой сферы однородным потоком газа:

$$p = -\frac{3\mu a U \cos \theta}{r^2(2 + k/a^2)}, \quad q_r = \left\{ \frac{-3aU}{r(2 + k/a^2)} \left[ 1 - \frac{a^2}{3r^2} \left( 1 + \frac{2k}{a^2} \right) \right] + U \right\} \cos \theta,$$

$$q_\theta = \left\{ \frac{3aU}{2r(2 + k/a^2)} \left[ 1 + \frac{a^2}{3r^2} \left( 1 + \frac{2k}{a^2} \right) \right] - U \right\} \sin \theta,$$

$$P = -\frac{3\mu r U \cos \theta}{2a^2 + k}, \quad Q_r = \frac{3kU \cos \theta}{2a^2 + k}, \quad Q_\theta = -\frac{3kU \sin \theta}{2a^2 + k}, \quad D = \frac{6\pi a U \mu}{1 + k/(2a^2)}.$$

Здесь строчными буквами обозначены параметры течения вне пористого тела, соответствующими прописными — параметры течения внутри пористого тела;  $p, q$  — давление и скорость соответственно; индексы  $r, \theta$  соответствуют радиальной и угловой составляющим вектора;  $D$  — коэффициент сопротивления;  $a$  — радиус пористой сферы;  $U$  — скорость однородного набегающего потока;  $\mu$  — динамическая вязкость жидкости;  $k$  — коэффициент проницаемости материала сферы.

В [5] отмечено, что коэффициент сопротивления пористой сферы равен соответствующему значению этого параметра для непроницаемой сферы, имеющей радиус, уменьшенный в  $1 + k/(2a^2)$  раз.

В [9] получены аналогичные выражения для параметров потока и коэффициента сопротивления, а также формула для скорости гравитационного осаждения частиц, приведены линии тока внутри и вне пористой сферы.

В работе [8] рассматриваемая задача решена при условии ненулевой тангенциальной составляющей скорости на поверхности частицы: ставилось условие совпадения значений этой величины по обе стороны поверхности раздела сред. В данном случае решение принимает вид

$$p = -\frac{3\mu a U \cos \theta}{r^2(2 + 3k/a^2)}, \quad q_r = \left\{ \frac{-3aU}{r(2 + 3k/a^2)} \left[ 1 - \frac{a^2}{3r^2} \left( 1 + \frac{2k}{a^2} \right) \right] + U \right\} \cos \theta,$$

$$q_\theta = \left\{ \frac{3aU}{2r(2 + 3k/a^2)} \left[ 1 + \frac{a^2}{3r^2} \left( 1 + \frac{2k}{a^2} \right) \right] - U \right\} \sin \theta,$$

$$P = -\frac{3\mu r U \cos \theta}{2a^2 + 3k}, \quad Q_r = \frac{3kU \cos \theta}{2a^2 + 3k}, \quad Q_\theta = -\frac{3kU \sin \theta}{2a^2 + 3k}, \quad D = \frac{6\pi a U \mu}{1 + 3k/(2a^2)}.$$

Несмотря на то что в работе [5] использовалось граничное условие на поверхности сферы  $q_\theta(a, \theta) = Q_\theta(a, \theta) = 0$ , вопрос о его справедливости для общего случая задачи обтекания пористых тел остался нерешенным. В [5] предполагалось, что это условие может применяться при малых значениях коэффициента проницаемости  $k$ . В работах [21, 22] экспериментально, а в [23] теоретически показано, что при решении задачи с использованием модели потока в пористой среде Дарси более подходящими являются такие соотношения, в которых тангенциальная составляющая скорости имеет разрыв:

$$\frac{\partial u_\theta(a, \theta)}{\partial r} = \frac{\alpha}{\sqrt{k}} [u_\theta(a, \theta) - U_\theta(a, \theta)] \quad (1)$$

( $0,25 < \alpha < 10,00$  — параметр, зависящий от материала пористой среды). С помощью этой модели граничных условий получены решения задач обтекания пористой сферы потоком с линейным сдвигом скорости [14] и потоком произвольной структуры [12, 13] в виде аналитических выражений для параметров течения, коэффициента сопротивления и скорости осаждения частиц в поле силы тяжести.

В настоящее время наиболее распространенным подходом к решению задач обтекания пористых частиц или их осаждения в жидкости под действием силы тяжести является подход 3. С использованием этого подхода получены важные для приложений результаты, как аналитические [4, 15–17], так и численные [18].

Для указанного класса задач представляет интерес изучение течений вблизи полых проницаемых сферических оболочек, используемых в технологических процессах в качестве микрореакторов и разделителей газов. В работе [7] с использованием модели Дарси впервые получено решение этой задачи при одном неопределенном параметре для очень тонкой оболочки (см. также [10, 11]). Очень подробно данная задача рассмотрена в работе [4], в которой в рамках подхода 3 получены аналитические формулы для параметров течения, коэффициента сопротивления, рассмотрены асимптотические случаи оболочки нулевой толщины и сплошной пористой сферы. Сравнение решений, полученных с использованием подходов 2, 3, а также с помощью различных граничных условий, проведено в работе [16].

При решении задач обтекания полых сферических частиц (микросфер), например задачи о микросферах, используемых в качестве полых сферических мембран для обогащения гелиевого газа гелием [24], необходимо более подробно описать силы, действующие на частицы в потоке жидкости и газа.

**Задача стационарного обтекания полого пористого шара с граничным условием прилипания.** Рассмотрим задачу стационарного обтекания полого пористого шара потоком вязкой несжимаемой жидкости с внешним радиусом  $b$  и радиусом полости  $a$ . Скорость потока на бесконечности будем полагать равной  $v_\infty$  (рис. 1),  $\mu$ ,  $\rho$  — динамическая вязкость и плотность жидкости.

Введем сферическую систему координат  $(r, \theta, \varepsilon)$ . Тогда можно считать, что искомые параметры течения — радиальная составляющая скорости  $v_r$ , нормальная составляющая скорости  $v_\theta$  и давление в жидкости  $p$  — являются функциями только параметров  $r$  и  $\theta$ . Также можно пренебречь азимутальной составляющей скорости  $v_\varepsilon$ .

Предположим, что свободное течение описывается в рамках приближения Стокса [25], которое справедливо для течений с числами Рейнольдса  $Re \ll 1$  ( $Re = 2bv_\infty\rho/\mu$ ), а фильтрационное течение в стенке шара подчиняется закону Дарси [26].

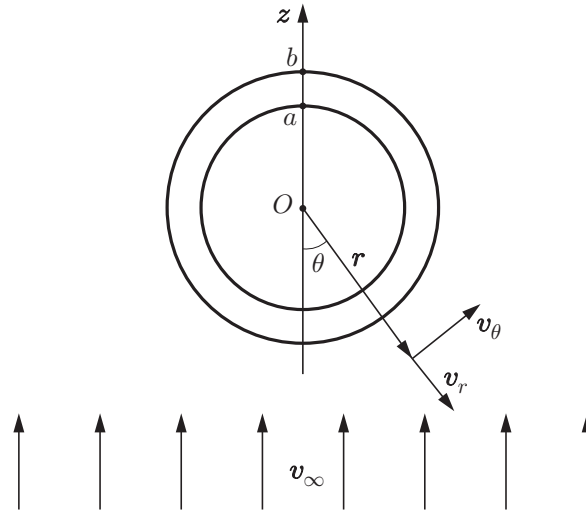


Рис. 1. Схема микросферы, обтекаемой потоком жидкости

Уравнения свободного течения имеют вид

$$\begin{aligned} \frac{\partial v_r}{\partial r} + \frac{1}{r} \frac{\partial v_\theta}{\partial \theta} + \frac{2}{r} v_r + \frac{\text{ctg } \theta}{r} v_\theta &= 0, \\ \mu \left( \frac{\partial^2 v_r}{\partial r^2} + \frac{1}{r^2} \frac{\partial^2 v_r}{\partial \theta^2} + \frac{2}{r} \frac{\partial v_r}{\partial r} + \frac{\text{ctg } \theta}{r^2} \frac{\partial v_r}{\partial \theta} - \frac{2v_r}{r^2} - \frac{2}{r^2} \frac{\partial v_\theta}{\partial \theta} - \frac{v_\theta \text{ctg } \theta}{r^2} \right) &= -\frac{\partial p}{\partial r}, \\ \mu \left( \frac{\partial^2 v_\theta}{\partial r^2} + \frac{1}{r^2} \frac{\partial^2 v_\theta}{\partial \theta^2} + \frac{2}{r} \frac{\partial v_\theta}{\partial r} + \frac{\text{ctg } \theta}{r^2} \frac{\partial v_\theta}{\partial \theta} + \frac{2}{r^2} \frac{\partial v_r}{\partial \theta} - \frac{v_\theta}{r^2 \sin \theta} \right) &= -\frac{1}{r} \frac{\partial p}{\partial \theta}, \\ 0 < r < a, \quad r > b, \quad 0 \leq \theta \leq \pi. \end{aligned} \quad (2)$$

Уравнения фильтрационного течения имеют вид

$$\begin{aligned} \frac{\partial V_r}{\partial r} + \frac{1}{r} \frac{\partial V_\theta}{\partial \theta} + \frac{2}{r} V_r + \frac{\text{ctg } \theta}{r} V_\theta &= 0, \\ V_r &= -\frac{k}{\mu} \frac{\partial P}{\partial r}, \quad V_\theta = -\frac{k}{\mu} \frac{1}{r} \frac{\partial P}{\partial \theta}, \\ a \leq r \leq b, \quad 0 \leq \theta \leq \pi, \end{aligned} \quad (3)$$

где  $V_r$  — радиальная составляющая скорости фильтрации;  $V_\theta$  — нормальная составляющая скорости фильтрации;  $P$  — давление. Далее параметры течения в полости шара обозначаются  $v_r^i, v_\theta^i, p^i$ , вне шара —  $v_r^e, v_\theta^e, p^e$ .

Зададим условия на границах между областями свободного и фильтрационного течений, которые представляют собой условия прилипания вязкой жидкости на границе с твердым телом и условие непрерывности давления:

— при  $r = a$

$$v_r^i = V_r, \quad v_\theta^i = 0, \quad p^i = P; \quad (4)$$

— при  $r = b$

$$v_r^e = V_r, \quad v_\theta^e = 0, \quad p^e = P, \quad (5)$$

а также условие на бесконечности

$$v_r^e \rightarrow -v_\infty \cos \theta, \quad v_\theta^e \rightarrow v_\infty \sin \theta. \quad (6)$$

Согласно [25] общее решение (2) имеет вид

$$\begin{aligned} v_r &= \left( \frac{C_1}{r^3} + \frac{C_2}{r} + C_3 + C_4 r^2 \right) \cos \theta, & v_\theta &= \left( \frac{C_1}{2r^3} - \frac{C_2}{2r} - C_3 - 2C_4 r^2 \right) \sin \theta, \\ p &= \mu \left( \frac{C_2}{r^2} + 10C_4 r \right) \cos \theta. \end{aligned} \quad (7)$$

При  $r > b$  с учетом условия на бесконечности (6) из уравнений (7) получаем выражения для искомых параметров

$$v_r^e = \left( \frac{C_1}{r^3} + \frac{C_2}{r} - v_\infty \right) \cos \theta, \quad v_\theta^e = \left( \frac{C_1}{2r^3} - \frac{C_2}{2r} + v_\infty \right) \sin \theta, \quad p^e = \mu \frac{C_2}{r^2} \cos \theta. \quad (8)$$

Из соотношений (7) следует, что с учетом ограниченности физических параметров при  $r = 0$  решение в полости шара при  $r < a$  имеет вид

$$v_r^i = (C_7 + C_8 r^2) \cos \theta, \quad v_\theta^i = (-C_7 - 2C_8 r^2) \sin \theta, \quad p^i = 10\mu C_8 r \cos \theta. \quad (9)$$

В [9] приведено решение рассматриваемой задачи в области фильтрационного течения

$$V_r = -C_6(k/\mu) \cos \theta, \quad V_\theta = C_6(k/\mu) \sin \theta, \quad P = (C_5/r^2 + C_6 r) \cos \theta. \quad (10)$$

Разрешая шесть граничных условий (4), (5) относительно шести неизвестных констант  $C_1, C_2, C_5, C_6, C_7, C_8$ , получаем выражения

$$\begin{aligned} C_1 &= -\frac{b^3(-a^3 + b^3 + 2(5a + b)k)}{-2a^3 + 20ka + 2b^3 + bk} v_\infty, & C_2 &= \frac{3}{2} b \left( 1 - \frac{bk}{-2a^3 + 20ka + 2b^3 + bk} \right) v_\infty, \\ C_5 &= \frac{3ab(a^2 - 10k)}{2a^3 - 2b^3 - (20a + b)k} \mu v_\infty, & C_6 &= \frac{3b}{-2a^3 + 20ka + 2b^3 + bk} \mu v_\infty, \\ C_7 &= -\frac{6bk}{-2a^3 + 20ka + 2b^3 + bk} v_\infty, & C_8 &= \frac{3bk}{a^2(-2a^3 + 20ka + 2b^3 + bk)} v_\infty. \end{aligned} \quad (11)$$

Сила, действующая на шар в потоке жидкости, рассчитывается по формуле [25]

$$W = 2\pi b^2 \int_0^\pi (\tau_{r\theta} \sin \theta - \sigma_{rr} \cos \theta) \sin \theta d\theta, \quad (12)$$

где  $\sigma_{rr} = -p^e + 2\mu \partial v_r^e / \partial r$ ,  $\tau_{r\theta} = \mu((\partial v_r^e / \partial \theta) / r + \partial v_\theta^e / \partial r - v_\theta^e / r)$  — нормальная и касательная компоненты напряжения на границе шара при  $r = b$ .

В данном случае с учетом (8), (11) получаем

$$W = 6\pi b \mu v_\infty \left( 1 - \frac{bk}{-2a^3 + 20ka + 2b^3 + bk} \right). \quad (13)$$

При этом выражение для коэффициента сопротивления  $C_D$  имеет вид

$$C_D = \frac{24}{\text{Re}} \left( 1 - \frac{\beta}{2 - 2\gamma^3 + 20\gamma\beta + \beta} \right), \quad (14)$$

где  $\text{Re} = 2b\rho v_\infty / \mu$  — число Рейнольдса;  $\gamma = a/b$  — безразмерная характеристика толщины стенки сферы;  $\beta = k/b^2$  — безразмерная характеристика проницаемости стенки сферы.

При проницаемости, близкой к нулю ( $k \rightarrow 0$ ,  $a < b$ ), формула (13) переходит в классическую формулу Стокса [25].

В предположении очень тонкой стенки ( $a \rightarrow b$ ,  $k > 0$ ) формулы (13), (14) имеют вид

$$W = \frac{120}{21} \pi b \mu v_\infty, \quad C_D = \frac{160}{7} \frac{1}{\text{Re}} \approx \frac{22,9}{\text{Re}}.$$

Следует отметить, что в рассматриваемом случае сила не зависит от проницаемости. Это обусловлено тем, что в данной постановке задачи бесконечно тонкой стенкой является окружность радиусом  $b$ , на которой обращается в нуль касательная компонента скорости, а радиальная компонента непрерывна. Иными словами, жидкость мгновенно проникает внутрь шара.

В предположении, что радиус полости стремится к нулю ( $a \rightarrow 0$ ), формула (13) совпадает с формулой, полученной в [9] для случая обтекания проницаемого шара.

Согласно [25] выражение для функции тока имеет вид (формула справедлива во всей исследуемой области)

$$\psi(r, \theta) = 2\pi r^2 \int_0^\theta v_r \sin \theta d\theta. \tag{15}$$

После интегрирования выражений для скорости (8)–(10) с учетом (11) выражение (15) принимает вид

$$\psi(r, \theta) = \begin{cases} \pi \left( \frac{(b-r)^2(b+2r)(a^3 - 10ak)}{(-2a^3 + 20ka + 2b^3 + bk)r} - \frac{b(b^5 + (2k - 3r^2)b^3 + 2r^3b^2 + kr^3)}{(-2a^3 + 20ka + 2b^3 + bk)r} \right) v_\infty \sin^2 \theta, & r > b, \\ -\pi \frac{3bk}{-2a^3 + 20ka + 2b^3 + bk} v_\infty r^2 \sin^2 \theta, & a \leq r \leq b, \\ -\pi \frac{3bk(2a^2 - r^2)}{-2a^3 + 2b^3 + 20ak + bk} \frac{r^2}{a^2} v_\infty \sin^2 \theta, & r < a. \end{cases} \tag{16}$$

На рис. 2 показаны линии тока в плоскости  $xz$ . Из соотношений (16) следует, что в области  $a \leq r \leq b$  поверхностями тока являются плоскости  $x = r \sin \theta = \text{const}$ . Этот вывод согласуется с картиной течения, представленной на рис. 2.

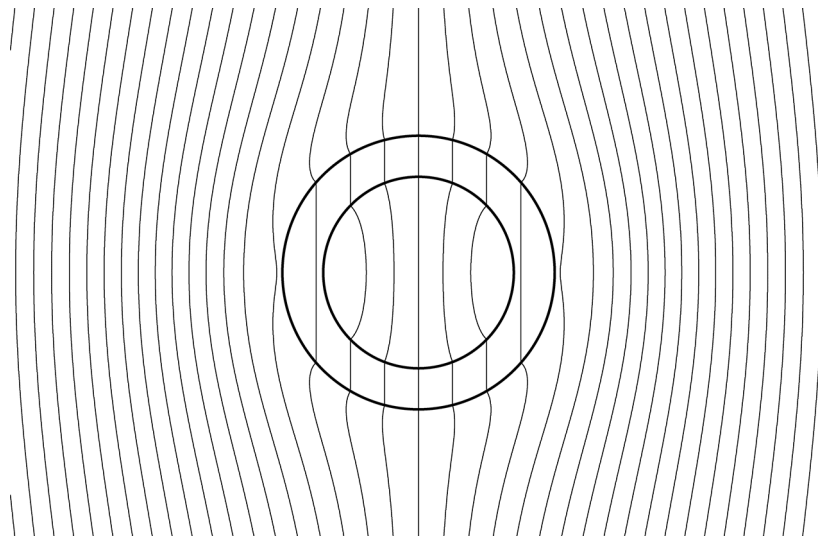


Рис. 2. Линии тока жидкости при выполнении условия прилипания на внешней границе шара

Масса жидкости, попавшей в шар за единицу времени, описывается формулой

$$q_b = 2\pi b^2 \rho \int_0^{\pi/2} v_r^e(b, \theta) \sin \theta d\theta. \quad (17)$$

В данном случае формула (17) принимает вид

$$q_b = -\frac{3\pi k \rho v_\infty}{2(1 - \gamma^3) + 20\gamma\beta + \beta}.$$

**Задача стационарного обтекания полого пористого шара с граничным условием проскальзывания.** Рассмотрим задачу стационарного обтекания полого пористого шара потоком при выполнении условия проскальзывания типа (1).

Решим уравнения (2), (3) с условием на бесконечности (6). В качестве граничных условий на внутренней поверхности шара ( $r = a$ ) используем условие непрерывности радиальной составляющей скорости, условие прилипания жидкости и условие непрерывности давления, аналогичное (4):

$$v_r^i = V_r, \quad v_\theta^i = 0, \quad p^i = P. \quad (18)$$

На внешней границе шара ( $r = b$ ) зададим условие непрерывности радиальной составляющей скорости, условие проскальзывания жидкости типа (1) и условие непрерывности давления

$$v_r^e = V_r, \quad \frac{\partial v_\theta^e}{\partial r} = \frac{\alpha}{\sqrt{k}} (v_\theta^e(b, \theta) - V_\theta(b, \theta)), \quad p^e = P, \quad (19)$$

где  $\alpha$  — коэффициент, определяющий величину скачка.

Решением задачи в такой математической постановке являются выражения (8)–(10) для функций, зависящих от шести констант  $C_1, C_2, C_5, C_6, C_7, C_8$ . Выражения для этих констант получаются после подстановки в граничные условия (18), (19):

$$C_1 = -\frac{b^3(\alpha b - \sqrt{k})(-a^3 + 10ka + b^3)v_\infty}{(40a + 3b)k^{3/2} + \alpha b(20a + 3b)k + 4(b^3 - a^3)\sqrt{k} + 2\alpha b(b^3 - a^3)},$$

$$C_2 = \frac{3b(\alpha b + \sqrt{k})(-a^3 + 10ka + b^3)v_\infty}{(40a + 3b)k^{3/2} + \alpha b(20a + 3b)k + 4(b^3 - a^3)\sqrt{k} + 2\alpha b(b^3 - a^3)},$$

$$C_5 = -\frac{3ab(\alpha b + \sqrt{k})(a^2 - 10k)\mu v_\infty}{(40a + 3b)k^{3/2} + \alpha b(20a + 3b)k + 4(b^3 - a^3)\sqrt{k} + 2\alpha b(b^3 - a^3)},$$

$$C_6 = \frac{3b(\alpha b + \sqrt{k})\mu v_\infty}{(40a + 3b)k^{3/2} + \alpha b(20a + 3b)k + 4(b^3 - a^3)\sqrt{k} + 2\alpha b(b^3 - a^3)},$$

$$C_7 = -\frac{6b(\alpha b + \sqrt{k})k v_\infty}{(40a + 3b)k^{3/2} + \alpha b(20a + 3b)k + 4(b^3 - a^3)\sqrt{k} + 2\alpha b(b^3 - a^3)},$$

$$C_8 = \frac{3b(\alpha b + \sqrt{k})k v_\infty}{a^2((40a + 3b)k^{3/2} + \alpha b(20a + 3b)k + 4(b^3 - a^3)\sqrt{k} + 2\alpha b(b^3 - a^3))}.$$

Аналогично по формуле (12) можно вычислить силу, действующую на шар со стороны потока:

$$W = \frac{12(\alpha b + \sqrt{k})(-a^3 + 10ka + b^3)}{(40a + 3b)k^{3/2} + \alpha b(20a + 3b)k + 4(b^3 - a^3)\sqrt{k} + 2\alpha b(b^3 - a^3)} b\mu\pi v_\infty. \quad (20)$$

При этом выражение для коэффициента сопротивления имеет вид

$$C_D = \frac{24}{\text{Re}} \frac{(\alpha + \beta^{1/2})(1 - \gamma^3 + 10\gamma\beta)}{\alpha(1 - \gamma^3) + 2\beta^{1/2}(1 - \gamma^3) + \alpha\beta(10\gamma + 3/2) + \beta^{3/2}(20\gamma + 3/2)}. \quad (21)$$

Рассмотрим предельные случаи характеристик оболочки.

В случае, когда шар непроницаем ( $k \rightarrow 0$ ), формула (21) переходит в известную формулу Стокса [25].

В случае, когда размер полости стремится к нулю ( $a \rightarrow 0$ ), выражения (20), (21) преобразуются к виду

$$W = \frac{12b^2(\alpha b + \sqrt{k})}{\sqrt{k}(4b^2 + 3k) + \alpha(2b^3 + 3kb)} b\mu\pi v_\infty, \quad C_D = \frac{24}{\text{Re}} \frac{2(\alpha + \beta^{1/2})}{\beta^{1/2}(4 + 3\beta) + \alpha(2 + 3\beta)}.$$

В случае бесконечно тонкой стенки ( $a \rightarrow b$ ) формулы (20), (21) преобразуются к виду

$$W = \frac{120(\alpha b + \sqrt{k})}{23\alpha b + 43\sqrt{k}} b\mu\pi v_\infty, \quad C_D = \frac{24}{\text{Re}} \frac{20(\alpha + \beta^{1/2})}{23\alpha + 43\beta^{1/2}}.$$

Функция тока определяется в соответствии с формулой (15):

— при  $r > b$

$$\psi(r, \theta) = \pi \left( \frac{-(\alpha b - \sqrt{k})(-a^3 + 10ka + b^3)b^3}{r\Delta} + \frac{3(\alpha b + \sqrt{k})(-a^3 + 10ka + b^3)r^2b}{r\Delta} - r^2 \right) v_\infty \sin^2 \theta;$$

— при  $a \leq r \leq b$

$$\psi(r, \theta) = -\pi \frac{3b(\alpha b + \sqrt{k})k}{\Delta} v_\infty r^2 \sin^2 \theta;$$

— при  $r < a$

$$\psi(r, \theta) = -\pi \frac{3bk(\alpha b + \sqrt{k})(2a^2 - r^2)}{a^2\Delta} v_\infty r^2 \sin^2 \theta,$$

где  $\Delta = (40a + 3b)k^{3/2} + \alpha b(20a + 3b)k + 4(b^3 - a^3)\sqrt{k} + 2\alpha b(b^3 - a^3)$ .

Из полученных формул следует, что в случае  $r \leq b$  выражение для функции тока отличается от формулы (16) только множителем, не зависящим от  $r, \theta$ . В случае  $r > b$  картина течения существенно меняется (рис. 3).

В отличие от режима обтекания с условиями прилипания на внешней границе жидкость входит в сферу практически по касательной.

Масса жидкости, попавшей в шар, рассчитывается по формуле (17), и в данном случае выражение для нее имеет вид

$$q_b = -\frac{3\pi(\alpha + \beta^{1/2})}{(40\gamma + 3)\beta^{3/2} + \alpha\beta(20\gamma + 3) + 4\beta^{1/2}(1 - \gamma^3) + 2\alpha(1 - \gamma^3)} k\rho v_\infty.$$



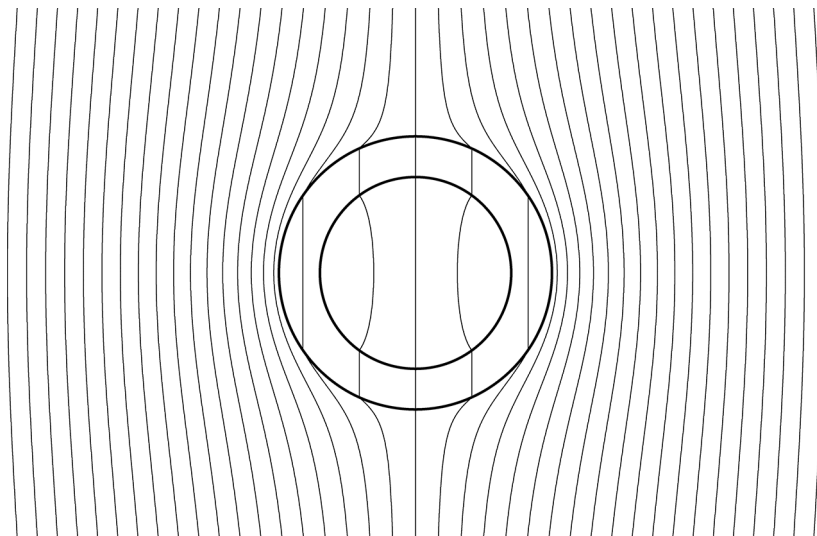


Рис. 3. Линии тока жидкости при выполнении условия скольжения на внешней границе шара

**Заключение.** Таким образом, решена задача обтекания пористой полый сферы потоком вязкой несжимаемой жидкости в приближении Стокса, в котором фильтрационное течение через оболочку шара подчиняется закону Дарси. Рассмотрены случаи выполнения условия прилипания и условий скольжения на внешней границе шара. В обоих случаях рассчитана сила, действующая на шар со стороны жидкости, построена функция тока и получены формулы для расхода жидкости через поверхность шара.

#### ЛИТЕРАТУРА

1. **Рахматуллин Х. А.** Обтекание пронизаемого тела // Вестн. Моск. ун-та. 1950. № 3. С. 41–55.
2. **Байчоров Х. Я.** Общие положения об обтекании пористого круглого цилиндра плоскопараллельным потоком идеальной несжимаемой жидкости // Вестн. Моск. ун-та. 1951. № 10. С. 23–33.
3. **Байчоров Х. Я.** Обтекание пористого круглого цилиндра плоскопараллельным потоком идеальной несжимаемой жидкости при линейном и квадратичном законе фильтрации // Вестн. Моск. ун-та. 1952. № 8. С. 73–89.
4. **Bhatt B. S.** Flow past a porous spherical shell using the Brinkman model // J. Phys. D. Appl. Phys. 1994. V. 27, N 1. P. 37–41.
5. **Joseph D. D., Tao L. N.** The effect of permeability on the slow motion of a porous sphere in a viscous liquid // Z. angew. Math. Mech. 1964. Bd 44, N 8/9. S. 361–364.
6. **Singh M. P., Gupta J. L.** The effect of permeability on the drag of a porous sphere in a uniform stream // Z. angew. Math. Mech. 1971. Bd 51, N 1. S. 27–32.
7. **Леонов А. И.** Медленное стационарное обтекание пористой сферы вязкой жидкостью // Прикл. математика и механика. 1962. Т. 26, № 3. С. 564–566.
8. **Yamamoto K.** Flow of viscous fluid at small Reynolds numbers past a porous sphere // J. Phys. Soc. Japan. 1971. V. 31, N 5. P. 1572–1575.
9. **Шаповалов В. М.** Обтекание полупроницаемой частицы вязкой жидкостью // ПМТФ. 2009. Т. 50, № 4. С. 48–53.

10. **Jones I. P.** Low Reynolds number flow past a porous spherical shell // Proc. Cambridge Philos. Soc. 1973. V. 73, N 1. P. 231–238.
11. **Verma P. D., Bhatt B. S.** Flow past a porous spherical shell using matched asymptotic technique // J. Mecanique. 1975. V. 14. P. 421–434.
12. **Padmavathi B. S., Amaranth T., Palaniappan D.** Stokes flow about a porous spherical particle // Arch. Mech. 1994. V. 46, N 1/2. P. 191–199.
13. **Padmavathi B. S., Amaranth T.** A solution for the problem of Stokes flow past a porous sphere // Z. angew. Math. Phys. 1993. Bd 44. S. 178–184.
14. **Журов А. Н., Полянин А. Д., Потапов Е. Д.** Обтекание пористой частицы сдвиговым потоком // Изв. РАН. Механика жидкости и газа. 1995. № 3. С. 113–120.
15. **Neale G., Epstein N.** Creeping flow relative to permeable spheres // Chem. Engng Sci. 1973. V. 28, N 10. P. 1865–1874.
16. **Hsu H. J., Huang L. H., Hsieh P. C.** A re-investigation of the low Reynolds number uniform flow past a porous spherical shell // Intern. J. Numer. Anal. Mech. Geomech. 2004. V. 28. P. 1427–1439.
17. **Srivastava A. C., Srivastava N.** Flow past a porous sphere at small Reynolds numbers // Z. angew. Math. Phys. 2005. Bd 56. S. 821–835.
18. **Nandakumar K., Masliyah J. H.** Laminar flow past a permeable sphere // Canad. J. Chem. Engng. 1982. V. 60, N 2. P. 202–211.
19. **Masliyah J. H., Policar M.** Terminal velocity of porous spheres // Canad. J. Chem. Engng. 1980. V. 58, N 3. P. 299–302.
20. **Brinkman H. C.** A calculation of the viscous force exerted by a flowing fluid on a dense swarm of particles // Appl. Sci. Res. 1947. V. A1. P. 27–34.
21. **Beavers G. S., Joseph D. D.** Boundary conditions at a naturally permeable wall // J. Fluid Mech. 1967. V. 30, pt 1. P. 197–207.
22. **Beavers G. S., Sparrow E. M., Magnuson R. A.** Experiments on coupled parallel flows in a channel and boundary porous medium // Trans. ASME. Ser. D. J. Basic Engng. 1970. V. 92, N 4. P. 843–848.
23. **Saffman P. G.** On the boundary condition at the surface of a porous medium // Stud. Appl. Math. 1971. V. 50, N 2. P. 93–101.
24. **Верещагин А. С., Верещагин С. Н., Фомин В. М.** Математическое моделирование движения импульса концентрации гелия по колонке, заполненной ценосферами // ПМТФ. 2007. Т. 48, № 3. С. 92–102.
25. **Кочин Н. Е.** Теоретическая гидромеханика / Н. Е. Кочин, И. А. Кибель, Н. В. Розе. М.; Л.: ОГИЗ: Гостехтеоретиздат, 1948. Ч. 2.
26. **Сулейманов Б. А.** Особенности фильтрации гетерогенных систем. М.; Ижевск: Ин-т компьютер. исслед., 2006.

*Поступила в редакцию 26/IV 2010 г.*